

Особой наглядностью отличаются топологич. конструкции и задачи, возникающие при изучении кривых и поверхностей в трёхмерном пространстве. Единственным топологич. инвариантом поверхности  $M^2$  (связной и замкнутой, т. е. без края) является её род, обозначаемый обычно через  $g$ , равный числу «дыр» на рисунке поверхности (рис. 1). [Мы не рассматриваем пока неориентируемые поверхности (см. ниже), к-рые нельзя расположить в трёхмерном пространстве без самопересечений.] Для сферы  $g=0$ , для тора  $g=1$ . Если поверхность представлена в виде многогранника, то её род может быть вычислен через эйлерову характеристику

$$B - P + \Gamma = 2 - 2g, \quad (1)$$

где  $B$  — число вершин,  $P$  — число рёбер, а  $\Gamma$  — число граней многогранника. Непрерывным вариантом этой ф-лы является ф-ла Гаусса — Бонне

$$2 - 2g = \frac{1}{2\pi} \iint_{M^2} K dS, \quad (2)$$

где  $K$  — гауссова кривизна поверхности,  $dS$  — элемент площади. Если  $M^2$  задана как риманова поверхность многозначной алгебраич. ф-ции  $w = w(z)$ , где  $F(w, z) \equiv w^n + a_1(z)w^{n-1} + \dots + a_n(z) = 0$ ,  $F$  — многочлен от двух переменных, то её род может быть вычислен по ф-ле Римана — Гурвица,  $g = r/2 - n + 1$ , где  $r$  — суммарная кратность точек ветвления (см. Многозначная функция) ф-ции  $w(z)$ , в к-рых происходит слияние нек-рых ветвей ф-ции  $w(z)$  [если в точке ветвления  $z_0$  после слияния остаются различными  $k$  ветвей  $w_1(z_0), \dots, w_k(z_0)$ , то кратность этой точки ветвления, по определению, равна  $n - k$ ].

Единственный топологич. инвариант  $h$  замкнутых неориентируемых поверхностей определяется исходя из следующей их явной конструкции: нужно вырезать в поверхности сферы  $h$  отверстий и заклеить каждое из них листом Мёбиуса (важно, что его границей является окружность, рис. 2). При  $h=1$  получается проективная плоскость, при  $h=2$  — бутылка Клейна (рис. 3). Эйлерова характеристика такой поверхности, определяемая по аналогии с (1), равна  $2 - h$ . Такие поверхности в трёхмерном пространстве обязательно имеют самопересечения.

Рассмотрим теперь примеры топологич. задач теории кривых. Замкнутая (гладкая) несамопересекающаяся кривая  $\gamma$  на плоскости всегда расположена «топологически одинаково»: она разделяет плоскость на две части — внутреннюю и внешнюю. Первые примеры топологич. величин возникают в теории ф-ций комплексного переменного: если замкнутая кривая  $\gamma$  лежит в области  $U$  на плоскости и ф-ция  $f(z)$  комплексно-аналитична в  $U$ , то величина

$$\oint_{\gamma} f(z) dz$$

не меняется при деформациях  $\gamma$  внутри области  $U$ .

Для зацеплений — двух несамопересекающихся и непересекающихся друг друга замкнутых кривых в трёхмерном пространстве — определён топологич. инвариант их расположения — коэффициент зацепления  $\{\gamma_1, \gamma_2\}$ . Он равен числу витков одной кривой вокруг другой и не меняется при деформациях кривых, в процессе к-рых не происходит пересечений. Для незацепленных кривых, к-рые указанными деформациями можно растащить по разные стороны нек-рой плоскости, коэф. зацепления равен нулю. Коэф. зацепления замкнутых кривых  $r = r_1(t)$ ,  $r = r_2(t')$  вычисляется по ф-ле

$$\{\gamma_1, \gamma_2\} = \frac{1}{4\pi} \oint_{\gamma_1} \oint_{\gamma_2} \frac{(dr_1, dr_2, dr_{12})}{|r_{12}|^3}$$

[ $r_{12} = r_1(t) - r_2(t')$ , в числителе — смешанное произведение]. Однако коэф. зацепления не несёт всей топологич. информации о взаимном расположении двух замкнутых кривых; напр., для зацепленных кривых, изображённых на рис. 4, коэф. зацепления равен нулю.

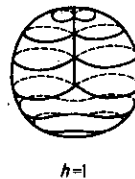
Более сложно строятся топологич. инварианты узлов — несамопересекающихся замкнутых кривых в трёхмерном пространстве  $\mathbb{R}^3$  (или в трёхмерной сфере  $S^3$ , получающейся добавлением к  $\mathbb{R}^3$  бесконечно удалённой точки). Два узла топологически эквивалентны, если один из них можно продеформировать в другой, причём в процессе деформации не должно возникнуть самопересечений. Полным топологич. инвариантом, измеряющим отличие узла от тривиального (рис. 5), является группа узла, совпадающая с фундам. группой (см. ниже) дополнения к узлу в  $S^3$ . (Для тривиального узла она совпадает с группой



Рис. 1. Поверхность рода  $g=2$ .



Рис. 2. Лист Мёбиуса.



$h=1$



$h=2$

Рис. 3. Неориентируемые поверхности.

Рис. 4. Пример зацепленных кривых с коэффициентом зацепления, равным нулю.

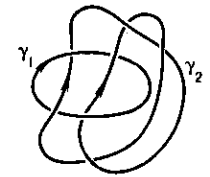


$a$



$b$

Рис. 5. Тривиальный (а) и нетривиальный (б) узлы.



целых чисел.) Однако ввиду некоммутативности группы узла (алгоритм её вычисления см. в [2]) этот инвариант непригоден, в частности для эфф. топологич. классификации узлов. Определены также более грубые инварианты узлов и зацеплений — многочлены Александера, Джонса и др., возникающие как статистич. суммы в нек-рых моделях двумерной статистич. физики. Узлы и зацепления могут быть получены посредством нек-рых отождествлений в группах кос; это позволяет строить топологич. инварианты узлов и зацеплений с помощью теории представлений групп кос, основывающейся на использовании теории  $R$ -матриц. Предпринимались попытки использования узлов и зацеплений в статистич. механике нек-рых веществ с длинными молекулами.

Многомерные обобщения большинства перечисленных наглядно-топологич. задач приводят к Т. многообразий — важнейшему разделу Т., тесно взаимодействующему с совр. матем. физикой. Множество точек  $M^n$  является  $n$ -мерным гладким многообразием, если оно представлено в виде объединения нек-рых своих подмножеств  $U_\alpha$ ,  $\alpha = 1, 2, \dots$  — карт, каждое из к-рых отождествлено с областью (открытым подмножеством) в пространстве  $\mathbb{R}^n$ . Отображения отождествления  $\varphi_\alpha(x) = (x_\alpha^1, \dots, x_\alpha^n)$  задают в каждом  $U_\alpha$  локальные координаты. Требуется, чтобы на пересечении двух карт  $U_\alpha$  и  $U_\beta$  координаты  $(x_\alpha^1, \dots, x_\alpha^n)$  выражались через координаты  $(x_\beta^1, \dots, x_\beta^n)$  (и наоборот) при помощи гладких (т. е. непрерывно дифференцируемых достаточное число раз) функций перехода: